

Figures

1/9
DAUBENSPECK et al.
BUR920000226US1 HJW

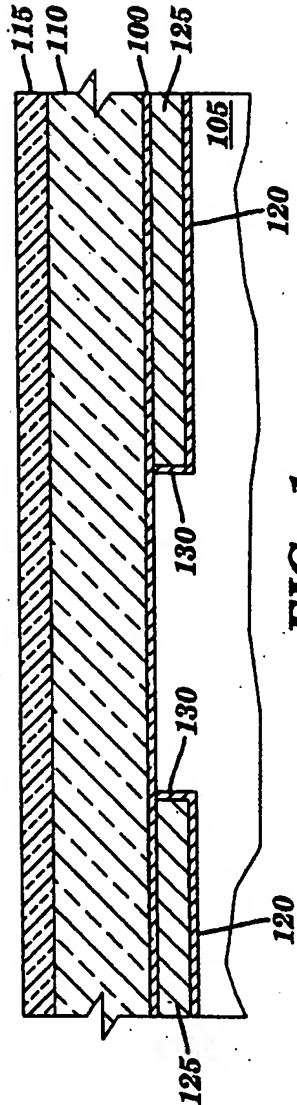


FIG. 1

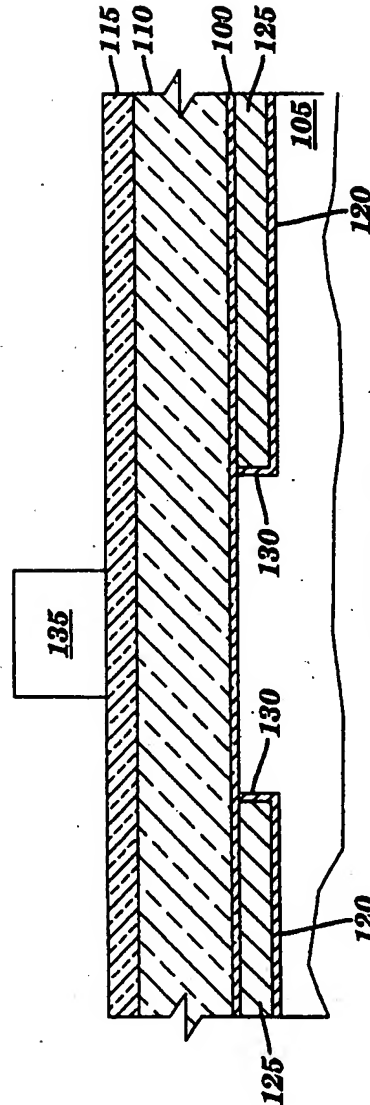


FIG. 2

2/9
BUR920000226US1

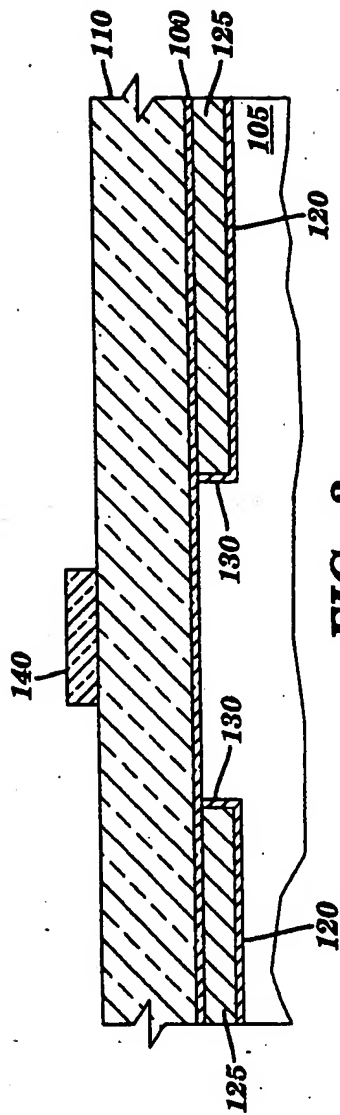


FIG. 3

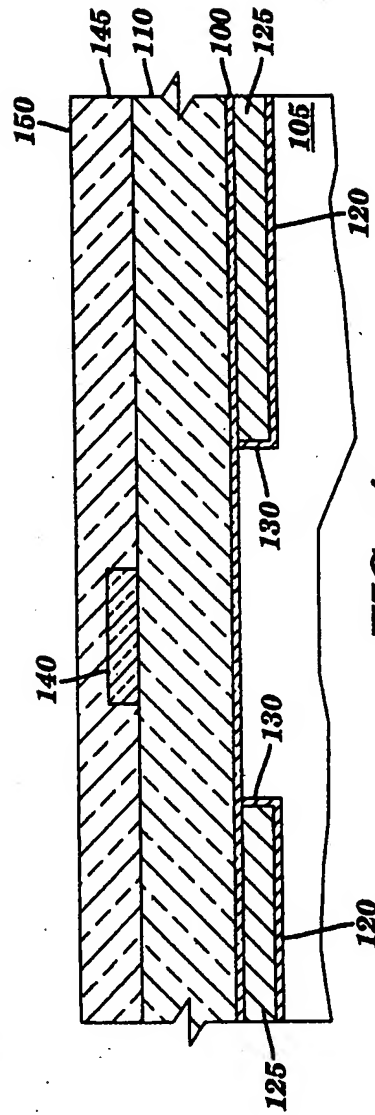


FIG. 4

3/9
BUR920000226US1

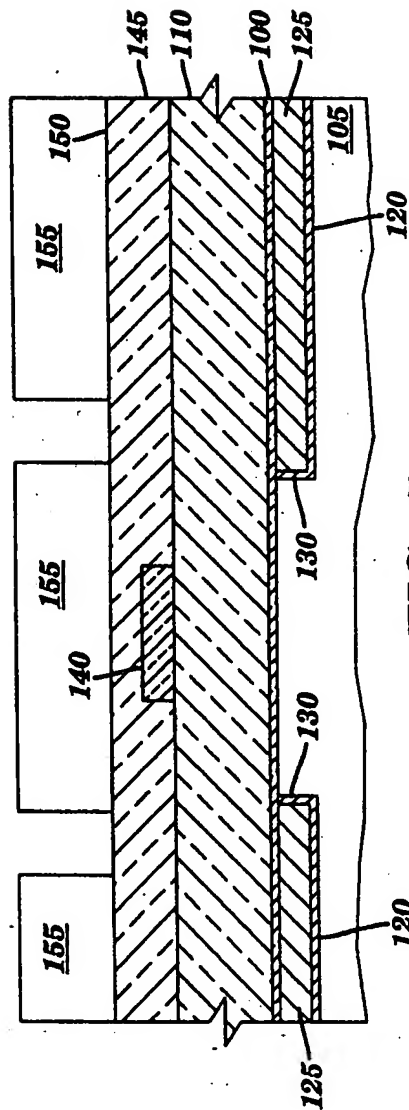


FIG. 5

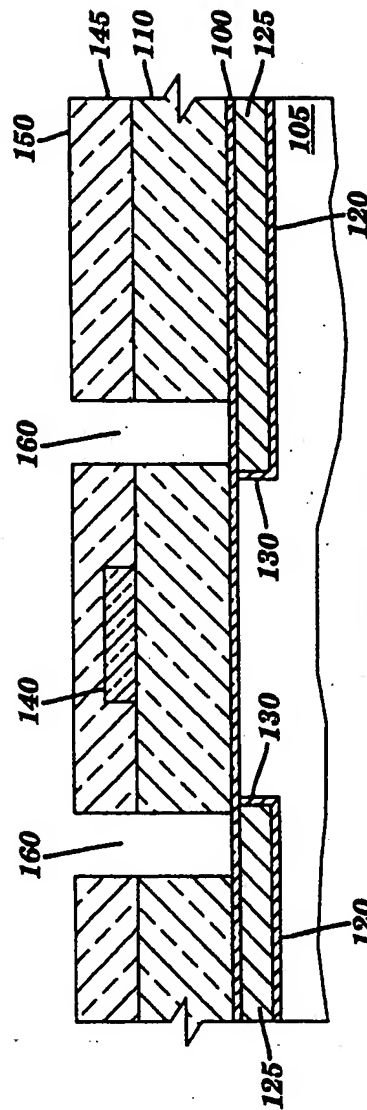
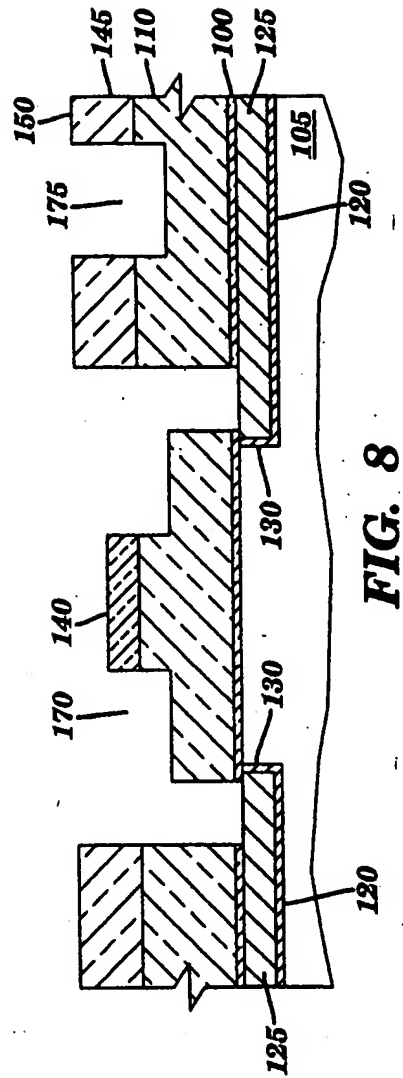
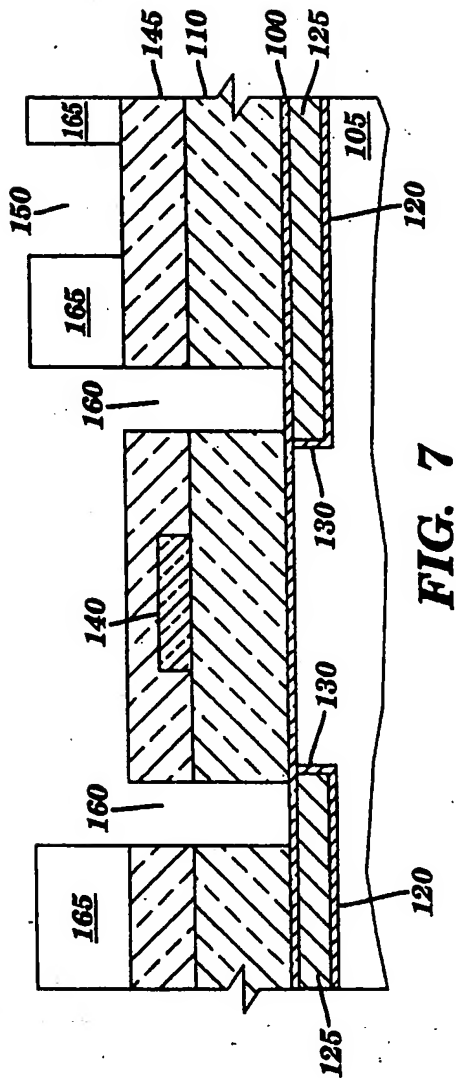
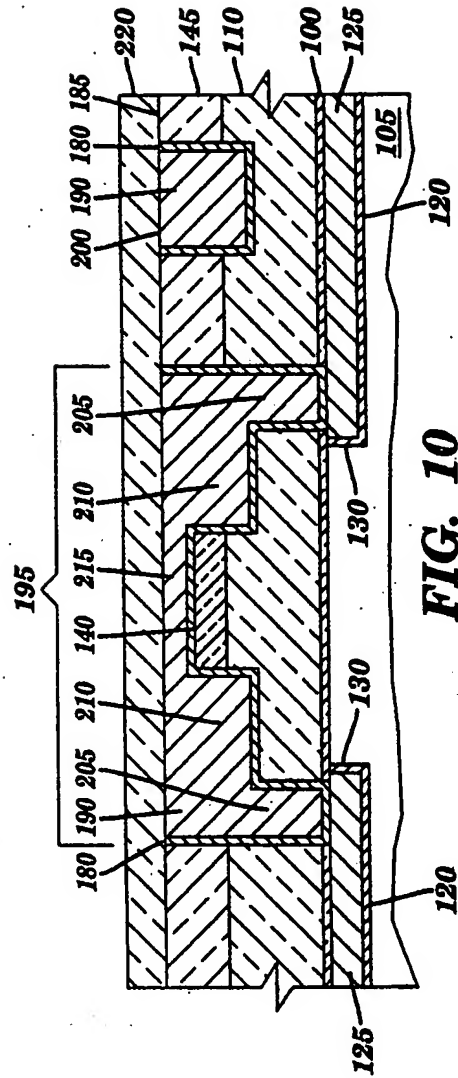
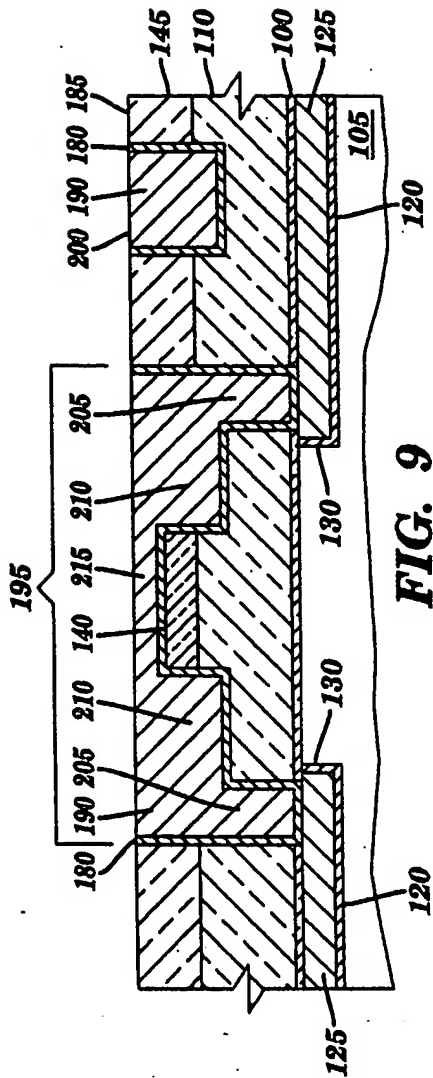


FIG. 6

4/9
BUR920000226US1



5/9
BUR920000226US1



6/9
BUR920000226US1

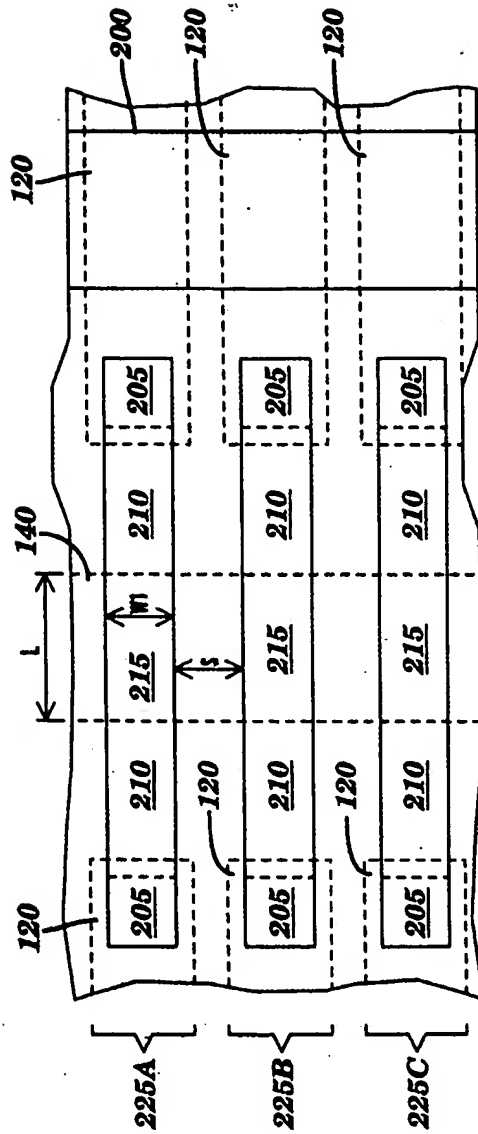


FIG. 11

7/9
BUR920000226US1

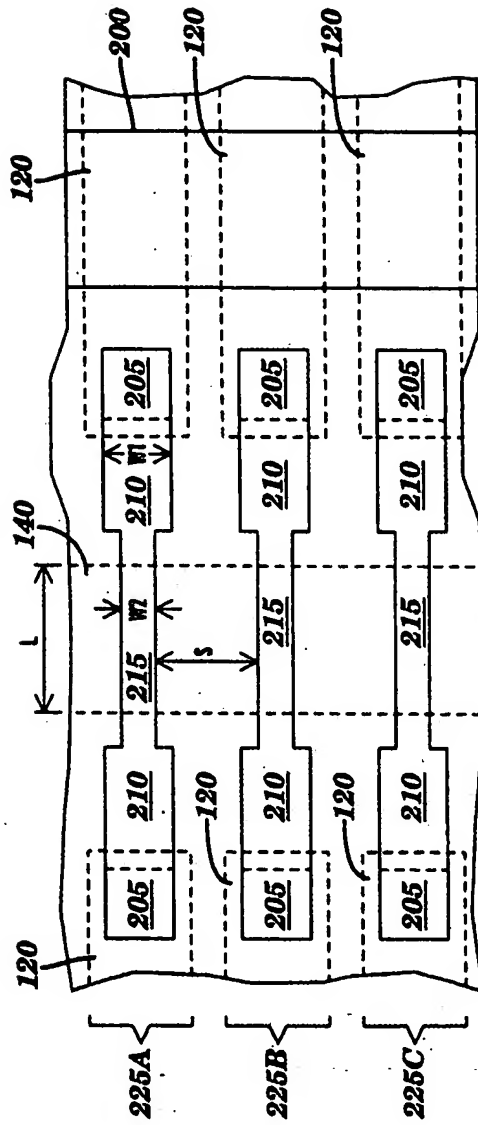


FIG. 12

8/9
BUR920000226US1

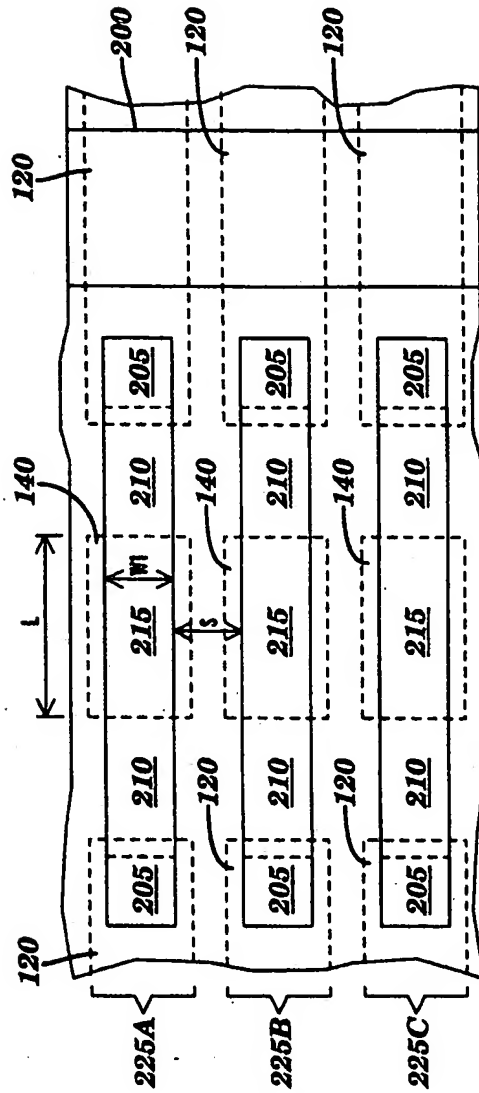


FIG. 13

9/9
BUR920000226US1

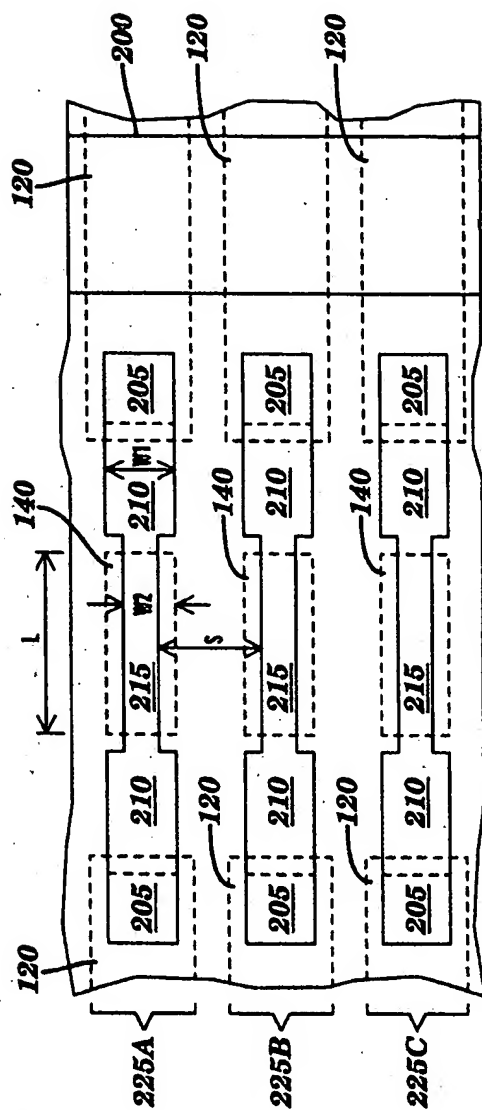


FIG. 14